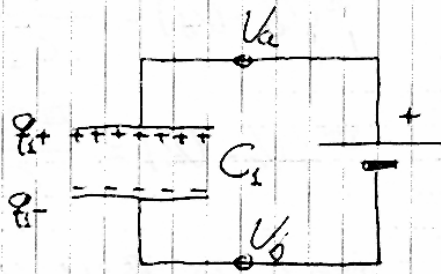


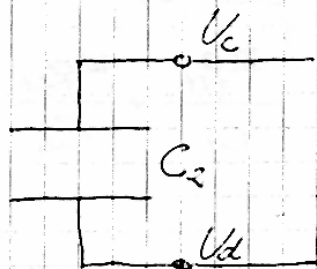
Problemas resueltos del tema 2PROBLEMA 3

ESTADO I

$$^I(U_a - U_b) = 800 \text{ V}$$

$$C_1 = 4 \mu\text{F} = 4 \cdot 10^{-6} \text{ F}$$

$$^I q_{1+} = ^I(U_a - U_b) \cdot C_1 = 3,2 \text{ mC}$$

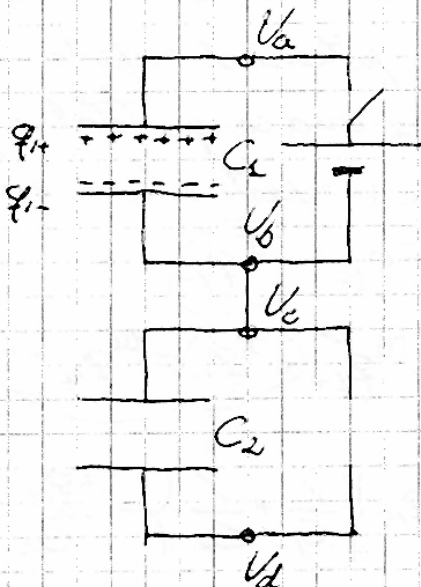


$$^I(U_c - U_d) = ^I q_{2+} / C_2 = 0 \text{ V}$$

$$C_2 = 6 \mu\text{F} = 6 \cdot 10^{-6} \text{ F}$$

$$^I q_{2+} = 0 \text{ C (descargado)}$$

ESTADO II



$$^{II} q_{1+} = ^I q_{1+} = 3,2 \text{ mC}$$

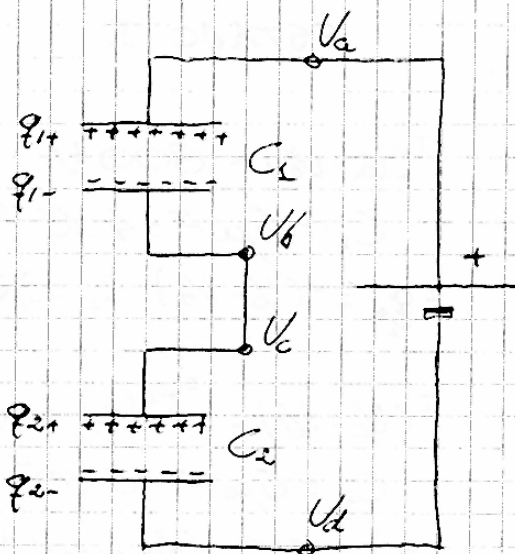
$$^{II}(U_a - U_b) = ^I(U_a - U_b) = 800 \text{ V}$$

$$^{II} q_{2+} = ^I q_{2+} = 0 \text{ C}$$

$$^{II}(U_c - U_d) = ^I(U_c - U_d) = 0 \text{ V}$$

Las cargas  $^I q_{1+}$  y  $^I q_{1-}$  permanecen fijas en los electrodos del condensador  $C_1$ ; el condensador  $C_2$  continúa descargado y, por lo tanto, su diferencia de potencial  $^{II}(U_c - U_d) = 0 \text{ V}$

## ESTADO III



$$\text{III } (V_a - V_b) = \frac{\text{III } q_{1+}}{C_1}$$

$$\text{III } (V_c - V_d) = \frac{\text{III } q_{2+}}{C_2}$$

$$\text{III } (V_a - V_b) + \text{III } (V_c - V_d) = 800 \text{ V}$$

$$\frac{\text{III } q_{1+}}{C_1} + \frac{\text{III } q_{2+}}{C_2} = 800 \text{ V} (*)$$

El electrodo negativo del condensador  $C_1$  está ahora unido al electrodo positivo del condensador  $C_2$ , formando un único conductor cuyo potencial respecto de  $V_d$  es  $V_b = V_c$ . Este conductor tiene una carga total negativa igual a  $\text{I } q_- = -3,2 \text{ mC}$ , que se reparte ahora en dos

$$\text{I } q_- = \text{III } q_{1-} + \text{III } q_{2+} \Rightarrow \text{III } q_{2+} = \text{I } q_- - \text{III } q_{1-}$$

$$\text{III } q_{2+} = \text{III } q_{1+} + \text{I } q_{1-} = \text{III } q_{1+} - \text{I } q_{1+}$$

$$(*) \frac{\text{III } q_{1+}}{C_1} + \frac{1}{C_2} \left\{ \text{III } q_{1+} - \text{I } q_{1+} \right\} = \text{III } q_{1+} \left\{ \frac{1}{C_1} + \frac{1}{C_2} \right\} - \frac{\text{I } q_{1+}}{C_2} = 800$$

$$\text{III } q_{1+} \left\{ \frac{C_2 + C_1}{C_1 \cdot C_2} \right\} = 800 + \frac{\text{I } q_{1+}}{C_2}; \text{III } q_{1+} \cdot \frac{10 \cdot 10^{-6}}{24 \cdot 10^{-12}} = 800 + \frac{\text{I } q_{1+}}{C_2}$$

$$\text{III } q_{1+} \cdot 416,66 \cdot 10^3 = 800 + \frac{3,2 \cdot 10^{-3}}{6 \cdot 10^{-6}} = 1333,33$$

$$\text{III } q_{1+} = 3,2 \cdot 10^{-3} \text{ C} = \text{I } q_{1+} \Rightarrow \text{III } (V_a - V_b) = \text{I } (V_a - V_b) = 800 \text{ V}$$

$$\text{III } q_{2+} = 0 \text{ C} = \text{I } q_{2+} \Rightarrow \text{III } (V_c - V_d) = \text{I } (V_c - V_d) = 0 \text{ V}$$

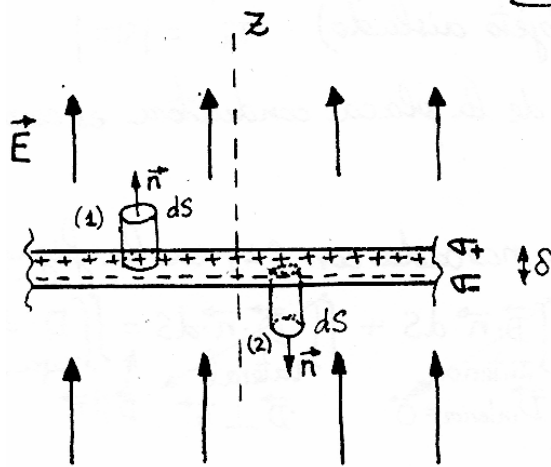
**PROBLEMA 10**Datos:

lámina conductora plana cuadrada de lado  $L = 50 \text{ cm}$  y espesor despreciable  $\delta$ , aislada y descargada inicialmente (por tanto la carga total de la placa permanecerá constante e igual a 0 C).

Campo externo (creado por fuentes ajenas a la placa)  $\vec{E} = 8 \cdot 10^4 \vec{u}_z \left[ \frac{\text{N}}{\text{C}} \right]$ .

Solución: Aunque el enunciado dice que el espesor de la lámina es despreciable, la dibujo con cierto grosor para poder distinguir entre la carga que se acumula en la cara superior de la lámina y en la inferior.

Al introducir la placa en el seno de un campo eléctrico exterior, las cargas del conductor se reordenarán hasta conseguir que se anule el campo eléctrico en el interior de la placa (propiedad de los conductores en equilibrio electrostático).

Así, en la cara superior de la lámina aparecerá carga positiva uniformemente distribuida  $\sigma_+$  (despreciamos el efecto de la dimensión no infinita de la placa ya que nos dicen en el enunciado que no consideremos el efecto de curvatura en los bordes y por si queda alguna duda nos dicen que  $\delta \ll L$ ).

Análogamente, en la cara inferior aparece una densidad de carga negativa  $\sigma_-$ , que también será constante a lo largo de la superficie por la simetría del plano y porque el campo exterior no varía con la posición.

Como la placa debe seguir neutra como al principio (por la conservación de la carga en un objeto aislado)  $\sigma_+ = |\sigma_-|$

Dado que el campo en el interior de la placa conductora es cero  
 $\vec{E}_{int} = \vec{0} \Rightarrow \vec{D}_{int} = \epsilon \cdot \vec{E}_{int} = \vec{0}$

Aplicamos Gauss a la superficie marcada con (1) en la figura:

$$\Phi_D = \oint \vec{D} \cdot \vec{n} \cdot dS = \iint_{\text{Tapa superior}} \vec{D} \cdot \vec{n} \cdot dS + \iint_{\text{Interior}} \vec{D} \cdot \vec{n} \cdot dS + \iint_{\text{lateral}} \vec{D} \cdot \vec{n} \cdot dS = \iint_{\text{Tapa sup.}} \vec{D} \cdot dS$$

Dado que en la tapa superior  $|\vec{D}| = cte$   
 $\vec{D}_{interior} = \vec{0}$        $\vec{D} \perp \vec{n}$        $\vec{D} \parallel \vec{n}$

$$\Phi_D = D \cdot S_{tapa}$$

Por otra parte, la carga real encerrada por la superficie escogida es:

$$Q_{real \text{ encerrada}} = \iint_{\text{sup. encerrada}} \sigma_+ \cdot dS = \sigma_+ \cdot S_{tapa}$$

$\sigma_+ = cte$  (por simetría).

Igualemos los dos términos y despejamos:

$$D = \sigma_+ \Rightarrow$$

$$\sigma_+ = \epsilon_0 E = 708 \frac{nC}{m^2}$$

Repetiendo el proceso para la superficie gaussiana (2) tengo

$$\Phi_D = \iint_{\text{tapa inferior}} \vec{D} \cdot \vec{n} \cdot dS + \iint_{\text{lateral}} \vec{D} \cdot \vec{n} \cdot dS + \iint_{\text{tapa superior}} \vec{D} \cdot \vec{n} \cdot dS = D \cdot S_{tapa} \cdot \cos(\pi \text{ rad}) = -D \cdot S_{tapa}$$

$\vec{D} = \vec{0}$        $\vec{D} \perp \vec{n}$        $|\vec{D}| = cte$   
 $\vec{D}$  opuesto a  $\vec{n}$

$$Q_{real \text{ encerrada}} = \sigma_- \cdot S_{tapa} \Rightarrow \sigma_- \cdot S_{tapa} = -\epsilon_0 E \cdot S_{tapa}$$

$$\text{Luego } \sigma_- = -\epsilon_0 E = -708 \text{ nC/m}^2$$

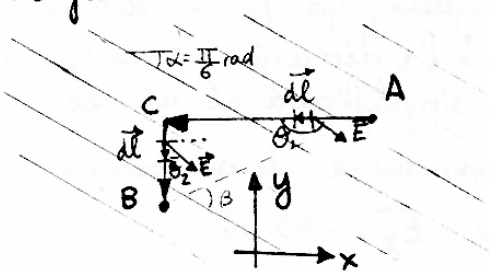
Las cargas totales en las superficies del conductor resultan evidentes de lo anterior

$$Q_{\text{cara superior}} \stackrel{\sigma_+ = cte}{=} \sigma_+ \cdot S_{placa} = \sigma_+ \cdot L^2 = 177 \text{ nC} = Q_+$$

$$Q_{\text{cara inferior}} \stackrel{\sigma_- = cte}{=} \sigma_- \cdot S_{placa} = \sigma_- \cdot L^2 = -177 \text{ nC} = Q_-$$

**PROBLEMA 14**

Para resolver este problema aprovecharé la circunstancia de que el campo  $\vec{E}$  es conservativo y por tanto la ddp entre dos puntos sólo depende de la posición de los puntos pero no del camino seguido del inicial al final.



Así, iré primero de  $A \rightarrow C$  y luego de  $C \rightarrow B$

$$V_B - V_A = - \int_A^B \vec{E} \cdot d\vec{l} = - \int_A^C \vec{E} \cdot d\vec{l} - \int_C^B \vec{E} \cdot d\vec{l} =$$

$$= - \int_A^C E \cos \theta_1 dl - \int_C^B E \cos \theta_2 dl$$

$\cos \theta_1 = -\cos \alpha$   
 $\cos \theta_2 = \sin \alpha$

$$= \int_A^C E \cos \alpha dl - \int_C^B E \sin \alpha dl =$$

$$= \int_{x=0.02}^{x=-0.01} E \cdot \cos \alpha (-dx) - \int_{y=0.02}^{y=0.01} E \cdot \sin \alpha (-dy) = -E \cdot \cos \alpha \cdot (-0.03) + E \cdot \sin \alpha \cdot (0.01)$$

$dl = -dx$  porque  $x$  decrece  
 $dl = -dy$  porque  $y$  decrece  
 $E$  y  $\alpha$  son ctes

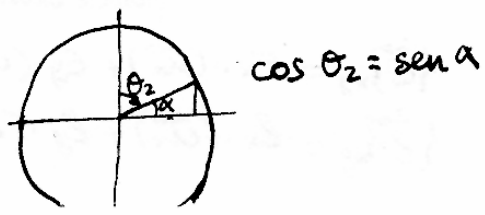
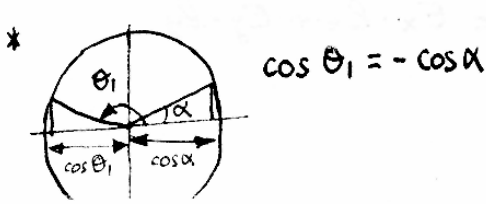
$$= 15.56 \text{ V} - 3 \text{ V} = \boxed{12.56 \text{ V} = V_B - V_A}$$

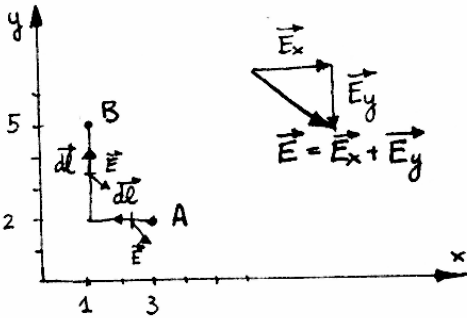
Podemos comprobar este resultado calculando  $V_B - V_A$  a través de la línea recta que une ambos puntos. La distancia entre A y B en línea recta es  $d = \sqrt{0.03^2 - 0.01^2} = 0.0316 \text{ m}$ . El ángulo que forma la trayectoria con el campo es  $\beta = \alpha + \arctg \frac{0.01}{0.03} = \frac{\pi}{6} + 0.3218$

$$V_B - V_A = E \cdot d \cdot \cos \beta = 600 \frac{\text{V}}{\text{m}} \cdot 0.0316 \text{ m} \cdot \cos(0.845 \text{ rad}) = 12.56 \text{ V}$$

$\vec{E} = \text{cte}$   
 $\beta = \text{cte}$

Nota: esta comprobación sólo es válida cuando  $\vec{E} = \text{cte}$  en módulo, dirección y sentido y la trayectoria AB es una recta



**PROBLEMA 15**

Puesto que el campo  $\vec{E}$  está definido a partir de fuerzas conservativas, puede elegirse cualquier trayectoria entre A y B sin que se altere la ddp entre ambos puntos.

Elegiré una trayectoria en ángulo recto como la dibujada, ya que el discurrir en tramos en la dirección de los ejes de coordenadas simplificará el cálculo.

Para este cálculo consideraré  $\vec{E}$  como suma de un campo horizontal  $\vec{E}_x = 75 \vec{u}_x$  y uno vertical  $\vec{E}_y = -40 \vec{u}_y$ .

$$V_B - V_A = - \int_A^B \vec{E} \cdot d\vec{l} = - \int_A^C \vec{E} \cdot d\vec{l} - \int_C^B \vec{E} \cdot d\vec{l}$$

$$\text{TRAMO 1} = - \int_A^C \vec{E} \cdot d\vec{l} = - \int_A^C \vec{E}_x \cdot d\vec{l} = \int_A^C |\vec{E}_x| |d\vec{l}| = - \int_A^C |\vec{E}_x| \cdot dx = - |\vec{E}_x| \Big|_{x=3}^{x=1} dx = 2 |\vec{E}_x|$$

pto C  
x=1  
valor en A

$$\text{TRAMO 1} = 2 |\vec{E}_x| = 150 \text{ V}$$

$$\text{TRAMO 2} = - \int_C^B \vec{E} \cdot d\vec{l} = - \int_C^B \vec{E}_y \cdot d\vec{l} = \int_C^B |\vec{E}_y| |d\vec{l}| = \int_C^B |\vec{E}_y| dy = |\vec{E}_y| \Big|_{y=2}^{y=5} dy = 3 |\vec{E}_y|$$

Valor de y en B  
y=5  
Valor de y en C

$$\text{TRAMO 2} = 3 |\vec{E}_y| = 120 \text{ V}$$

$$\text{Por tanto } V_B - V_A = \text{TRAMO 1} + \text{TRAMO 2} = 150 \text{ V} + 120 \text{ V} = 270 \text{ V}$$

Observación: en este caso que  $\vec{E} = \text{cte}$  se puede comprobar el resultado fácilmente

$$V_B - V_A = - \int_A^B \vec{E} \cdot d\vec{l} \stackrel{\vec{E} = \text{cte}}{=} - \vec{E} \cdot \int_A^B d\vec{l} = - \vec{E} \cdot (\vec{r}_B - \vec{r}_A) = (-75, +40) \cdot [(1, 5) - (3, 2)] =$$

producto escalar de dos vectores

$$= (-75, +40) \cdot (-2, 3) = 270 \text{ V} = \{E_x, E_y\} \cdot \{l_x, l_y\} =$$

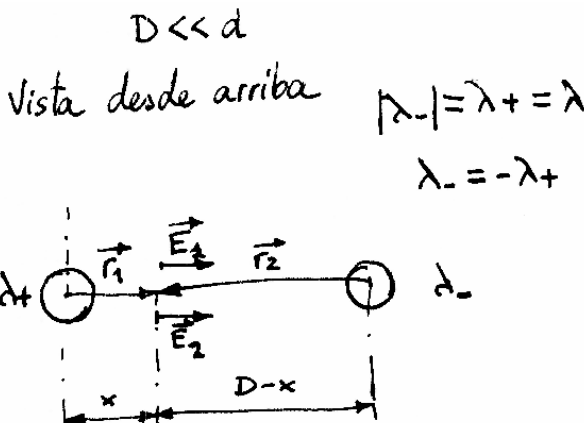
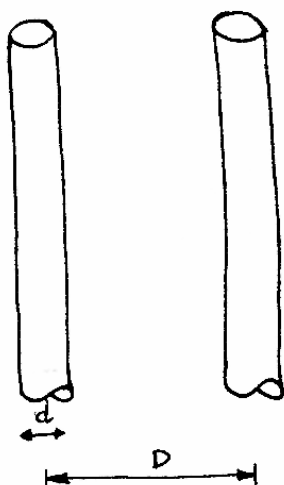
producto escalar

$$\{\vec{E}\}_{xy} = E_x \cdot (\vec{u}_x) + E_y \cdot (\vec{u}_y)$$

$$\{\vec{l}\}_{xy} = l_x (\vec{u}_x) + l_y (\vec{u}_y)$$

$$= E_x \cdot l_x + E_y \cdot l_y$$

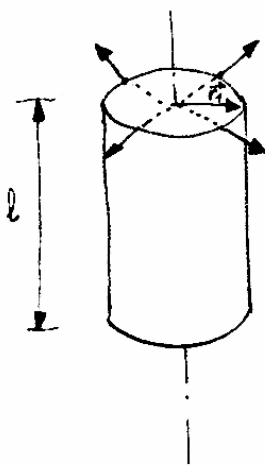
**PROBLEMA 22**



Al considerar  $R \gg d$ , los cables pueden considerarse hilos, en cuanto a su distribución de cargas, con densidad lineal de carga constante e igual a  $\lambda_+$  y  $\lambda_-$  respectivamente.

Para cada uno de estos hilos por separado puede aplicarse simetría cilíndrica y calcularse el campo mediante la ley de Gauss

Hilo 1



• Obtenemos dirección de  $\vec{D}$  y superficies con  $|\vec{D}| = cte$  utilizando razonamiento de simetría

$\vec{D}_1$  tiene dirección radial (de coord. cilíndricas)  
 $|\vec{D}_1| = cte$  para  $r = cte$ .

• Tomo como superficie gaussiana un cilindro coaxial a la distribución de carga.

$$\Phi_D = \oiint \vec{D}_1 \cdot \vec{n} \cdot dS = \iint_{\text{lateral}} D_1 \cdot dS \stackrel{D_1 = cte}{=} D_1 \cdot 2\pi r_1 l$$

$\vec{D}_1 \perp \vec{n}$  en las tapas  
 $\vec{D}_1 \parallel \vec{n}$  en el lateral

$$Q_{\text{real encerrada}} = \int_0^l \lambda_+ dl = \lambda_+ l = \lambda \cdot l$$

$\lambda = cte$

Iguando ambas expresiones obtengo  $\vec{D}_1 = \frac{\lambda}{2\pi r_1} \vec{u}_{r_1} \Rightarrow \vec{E}_1 = \frac{\lambda}{2\pi \epsilon_0 r_1} \vec{u}_{r_1}$   
 donde  $r_1$  es la distancia al eje del hilo 1 y  $\vec{u}_{r_1}$  es la dirección radial respecto al hilo 1.

Análogamente, para el hilo 2

$$\vec{E}_2 = -\frac{\lambda}{2\pi\epsilon_0} \frac{1}{r_2} \vec{u}_{r_2}, \text{ con } r_2 \text{ la distancia al eje del hilo 2 y}$$

$\vec{u}_{r_2}$  la dirección radial respecto al hilo 2.

En la línea perpendicular a los ejes de los hilos y que los une, que llamaremos dirección  $x$  (ver figura), los campos eléctricos creados por ambos hilos llevan la misma dirección y sentido.

$$\vec{E}_1(x) = \frac{\lambda}{2\pi\epsilon_0} \frac{1}{x} \vec{u}_x; \quad \vec{E}_2(x) = \frac{\lambda}{2\pi\epsilon_0} \frac{1}{D-x} \vec{u}_x; \quad \vec{E}_{\text{total}}(x) = \vec{E}_1(x) + \vec{E}_2(x)$$

Conocido el campo en el eje  $x$  es posible calcular la ddp entre los cables en función de  $\lambda$ .

- Para calcular la ddp no despreciamos el radio de los cables  $d$ , ya que en su interior  $E=0$ . Además si extendiendo la integral hasta los ejes de los hilos con los campos anteriormente calculados, éstos tienden a  $\infty$  en sus ejes, tendiendo su integral a  $\infty$  también. Por tanto:

$$V_0 = V(x=d) - V(x=D-d) = - \int_{x=D-d}^{x=d} \vec{E}_{\text{total}}(x) \cdot d\vec{l} = \int_{D-d}^d E_{\text{total}}(x) \cdot dl = - \int_{D-d}^d E_{\text{total}} \cdot dx$$

$\vec{E}_T$  opuesto a  $d\vec{l}$        $|d\vec{l}| = -dx$  porque  $x$  decrece

$$- \int_{D-d}^d E_1 dx = - \int_{D-d}^d \frac{\lambda}{2\pi\epsilon_0} \frac{1}{x} dx = - \frac{\lambda}{2\pi\epsilon_0} \ln \frac{d}{D-d} = \frac{\lambda}{2\pi\epsilon_0} \ln \frac{D-d}{d}$$

prop. logaritmos

$$- \int_{D-d}^d E_2 dx = - \int_{D-d}^d \frac{\lambda}{2\pi\epsilon_0} \frac{dx}{D-x} = \frac{\lambda}{2\pi\epsilon_0} \int_{D-d}^d \frac{dy}{y} = \frac{\lambda}{2\pi\epsilon_0} \ln \frac{D-d}{d}$$

cambio de variable  
 $D-x = y \Rightarrow -dx = dy$   
límite superior =  $d$   
límite inferior =  $D-d$

Por simetría los dos integrales deben dar lo mismo (con calcular una hubiera sido suficiente).

$$\text{luego } V_0 = 2 \frac{\lambda}{2\pi\epsilon_0} \ln \frac{D-d}{d} = \frac{\lambda}{\pi\epsilon_0} \ln \frac{D-d}{d}$$

la carga total en un trozo de cable es:  $Q = \int_0^L \lambda \cdot dl = \lambda \cdot L$

$$\text{y por fin la capacidad es } C = \frac{Q}{V_0} = \frac{\lambda L}{\frac{\lambda}{\pi\epsilon_0} \ln \frac{D-d}{d}} = \frac{\pi\epsilon_0 L}{\ln \frac{D-d}{d}} \approx \frac{\pi\epsilon_0 L}{\ln \frac{D}{d}}$$

$d \ll D$

Por tanto, la capacidad por unidad de longitud es

$$C_e = \frac{C}{L} = \frac{\pi\epsilon_0}{\ln \frac{D}{d}}$$